

# Diseño y evaluación de un sistema DSP para la rehabilitación vocal post-cordectomía mediante reconstrucción espectral e IA

Alfonso Gamboa Rubén y Flores Montero Edsel Yetlanezi

## I. OBJETIVOS DEL PROYECTO

### I-A. Objetivo General

Desarrollar y evaluar algoritmos de procesamiento digital de señales basado en análisis espectral de tiempo corto y modelado estadístico, en relación a la capacidad de mejorar la calidad de la voz y restaurar parcialmente las características tímbricas en grabaciones de voz de pacientes sometidos a cordectomía.

### I-B. Objetivos Específicos

- Caracterización Acústica:** Construir una base de datos pareada (pre y post-operatoria) para identificar los patrones de pérdida armónica y deformación espectral en el dominio de la frecuencia causados por la intervención quirúrgica.
- Optimización de la Relación Señal-Ruido (SNR):** Implementar y comparar técnicas de sustracción espectral (Noisereduce vs. Ephraim-Malah/VAD) para minimizar el ruido estacionario inherente a la fonación soplada sin degradar los transitorios de la voz.
- Reconstrucción Espectral:** Experimentar con algoritmos de transferencia de características que utilicen una máscara espectral diferencial ( $T_{dB}$ ) para proyectar el timbre e identidad del sonido vocal (envolvente de frecuencia de la voz) sano sobre la señal patológica.
- Validación Técnica:** Evaluar mediante espectrogramas y gráficas comparativas, la efectividad de los algoritmos en la rehabilitación de formantes y reducción de artefactos y desfase de frecuencias armónicas.

## II. MARCO TEÓRICO

### II-A. Software y Herramientas

**II-A1. Lenguaje de Programación: Python:** Para la implementación de los algoritmos de procesamiento de audio, se seleccionó Python como lenguaje náucleo. Esta elección se basa en la extensa documentación y la robustez de su ecosistema de librerías científicas (*SciPy Stack*, etc.), que permiten prototipar y desplegar soluciones complejas matemáticas, estadísticas y procesamiento de señales con alta eficiencia [1], [2].

### II-A2. Librerías Especializadas:

- Numpy (numpy):** Fundamental para la manipulación de arreglos multidimensionales [3]. Se utiliza para convertir los flujos de bits de audio en arreglos de punto flotante (float32) [4].
- Pydub (pydub):** Interfaz de alto nivel para el manejo de archivos de audio (I/O).
- Scipy (scipy.signal):** Proporciona herramientas matemáticas avanzadas [5], [6].
  - Filtro Savitzky-Golay:* Utilizado para el suavizado de curvas espectrales [7], [8]. Ajusta un polinomio de orden  $k$  a una ventana de puntos  $m$  mediante mínimos cuadrados [9], preservando los formantes [10]. Su formulación discreta es:

$$Y_j = \sum_{i=-(m-1)/2}^{(m-1)/2} C_i \cdot y_{j+i} \quad (1)$$

Donde  $Y_j$  es el valor suavizado,  $y$  los datos crudos,  $m$  el tamaño de la ventana y  $C_i$  los coeficientes [11].

### II-B. Fundamentos Matemáticos

**II-B1. STFT:** La voz es una señal no estacionaria, por lo que la Transformada de Fourier clásica es insuficiente [14]. La STFT divide la señal en ventanas temporales [15]:

$$X(m, k) = \sum_{n=0}^{N-1} x(n + mH)w(n)e^{-j\frac{2\pi}{N}kn} \quad (2)$$

Donde  $m$  es el índice temporal,  $k$  el índice de frecuencia y  $H$  el tamaño del salto [16], [17].

**II-B2. Algoritmo de Filtrado: Wiener:** El filtro de Wiener calcula una ganancia óptima  $W(f)$  basada en la SNR [22], [23]:

$$W(f) = \frac{P_{señal}(f)}{P_{señal}(f) + P_{ruido}(f)} \quad (3)$$

### II-C. Conceptos Estadísticos

**II-C1. Desviación Estándar ( $\sigma$ ):** Un píxel espectral se considera "señal" si supera un umbral dinámico:

$$\text{Umbral}(f) = \mu_{ruido}(f) + (n \cdot \sigma_{ruido}(f)) \quad (4)$$

### II-D. Acústica de la Voz

**II-D1. Los Formantes:** Picos de resonancia espectral [28], [29]:

- F1 y F2:** Determinan la vocal [30].
- F3, F4 y F5:** Determinan el timbre e identidad [34], [35].

## II-E. Cordectomía y Modelo Fuente-Filtro

La cordectomía reseca las cuerdas vocales por neoplasias [36], [37], causando disfonía [38]. El modelo acústico estándar (Fant, 1960) [43] separa la Fuente (vibración) del Filtro (tracto vocal) [46].

## III. METODOLOGÍA

### III-A. Versión 1.0: Análisis Espectral

*III-A1. Algoritmo 1.1.0: Preprocesamiento:* Sea  $x(n)$  la señal de entrada, su representación en frecuencia  $X(k)$  se define como:

$$X(k) = \sum_{n=0}^{N-1} x(n)e^{-j\frac{2\pi}{N}kn} \quad (5)$$

Aquí va mermaid 1

Figura 1. Diagrama de flujo del Algoritmo 1.1.0

*III-A2. Algoritmo 1.2.0: Rehabilitación:* Se calcula un factor de ganancia  $G(k)$ :

$$G(k) = \frac{|X_{pre}(k)|}{|X_{post}(k)|} \quad (6)$$

Señal rehabilitada  $Y_{reh}(k)$ :

$$Y_{reh}(k) = X_{post}(k) \cdot G(k) \quad (7)$$

Aplicación de la IFFT:

$$y(n) = \frac{1}{N} \sum_{k=0}^{N-1} Y_{reh}(k)e^{j\frac{2\pi}{N}kn} \quad (8)$$

Aquí va mermaid 2

Figura 2. Diagrama de flujo del Algoritmo 1.2.0

*III-A3. Algoritmo 1.1.1: Archivos Independientes:* Iteración para procesamiento unilateral.

Aquí va mermaid 3

Figura 3. Diagrama de flujo del Algoritmo 1.1.1

*III-A4. Algoritmo 1.2.1: Suma Diferencial:* Compensación aditiva basada en promedios espectrales.

$$\Delta_{media}(k) = \mu_{pre}(k) - \mu_{post}(k) \quad (9)$$

$$|Y_{rehab}(k)| = |X_{post}(k)| + \Delta_{media}(k) \quad (10)$$

Aquí va mermaid 4

Figura 4. Diagrama de flujo del Algoritmo 1.2.1

Aquí va mermaid 5

Figura 5. Diagrama de flujo del Algoritmo 1.2.2

*III-A5. Algoritmo 1.2.2: Inyección Proyectada:* Control estadístico para evitar distorsión usando  $\mu$  y  $\sigma$ .

$$G_{corr}(k) = \frac{|X_{post}(k)| + I_{proj}(k)}{\mu_{pre}(k)} \quad (11)$$

### III-B. Versión 2.0: Metadatos

*III-B1. Algoritmo 2.1.0: Filtrado Selectivo:* Uso de REGEX para configuración dinámica de filtros.

Aquí va mermaid 6

Figura 6. Diagrama de flujo del Algoritmo 2.1.0

*III-B2. Algoritmo 2.2.1.0: Modelo Espectral:* Promedio ponderado ( $w$ ) según calidad de grabación.

$$S_{ideal}(k) = \frac{\sum_{i=1}^N (X_i(k) \cdot w_i)}{\sum_{i=1}^N w_i} \quad (12)$$

Aquí va mermaid 7

Figura 7. Diagrama de flujo del Algoritmo 2.2.1.0

*III-B3. Algoritmo 2.2.2.0: Reconstrucción Híbrida:* Sustitución espectral en banda alta y amplificación en media, suavizado con Savitzky-Golay.

### III-C. Versión 3.0: Estimación MMSE

*III-C1. Algoritmo 3.1.0: MMSE-STSA con VAD:* Estimador de Ephraim-Malah con Detección de Actividad de Voz.

*III-C2. Algoritmo 3.2.0: Visualización:* Generación de espectrogramas logarítmicos.

$$S(m, k) = 10 \cdot \log_{10}(|X(m, k)|^2) \quad (13)$$

*III-C3. Algoritmo 3.3.0: Máscara de Transferencia:* Definición de Función de Transferencia Objetivo ( $T_{dB}$ ):

$$T_{dB}(k) = \mu_{PRE,dB}(k) - \mu_{POST,dB}(k) \quad (14)$$

Aplicación a la señal post-operatoria:

$$|Y_{reh}(m, k)| = |X_{post}(m, k)| \cdot 10^{\frac{T_{dB}(k)}{20}} \quad (15)$$

### Aquí va mermaid 8

Figura 8. Diagrama de flujo del Algoritmo 2.2.2.0

### Aquí va mermaid 9

Figura 9. Diagrama de flujo del Algoritmo 3.1.0

#### III-D. Versión 4.0: IA (Propuesta)

*III-D1. Fase 1: Reconstrucción Offline:* Arquitectura ASR-TTS (Whisper + XTTS).

$$P(Y|T, S) = \prod_n P(y_n|y_{<n}, T, S) \quad (16)$$

*III-D2. Fase 2: Optimización de Preferencias:* Ajuste de vectores de estilo (RLHF simplificado).

*III-D3. Fase 3: Streaming Baja Latencia:* Conversión RVC/So-VITS-SVC con Information Bottleneck.

$$Y_{str} = Dec(Content(X_{post}), F0_{smooth}, S_{pre}) \quad (17)$$

*III-D4. Fase 4: Modulación Emocional:* Integración de Speech Emotion Recognition (SER).

## IV. CONCLUSIONES GENERALES

La evolución del proyecto permite establecer hallazgos críticos. La voz humana no puede tratarse como un fenómeno estático; la aproximación global resulta insuficiente. El éxito de la rehabilitación espectral depende de la capacidad de ajustar la señal en una escala temporal micro-segmentada.

Se evidenció una dicotomía entre limpieza de señal y fidelidad tímbrica. Los algoritmos de sustracción espectral (Wiener+VAD) están limitados a ruido estacionario. Un hallazgo fundamental fue la criticidad de la alineación temporal; cualquier desviación rítmica genera incoherencias de fase. El futuro apunta hacia la caracterización multidimensional empleando tensores y matrices de mayores dimensiones.

### Aquí va mermaid 10

Figura 10. Diagrama de flujo del Algoritmo 3.2.0

### Aquí va mermaid 11

Figura 11. Diagrama de flujo del Algoritmo 3.3.0

## REFERENCIAS

- [1] T. E. Oliphant, *A guide to NumPy*, USA: Trelgol Publishing, vol. 1, 2006.
- [2] W. McKinney, "Python for data analysis: Data wrangling with Pandas, NumPy, and IPython," O'Reilly Media, Inc., 2012.
- [3] S. van der Walt, S. C. Colbert, and G. Varoquaux, "The NumPy array," *Computing in Science & Engineering*, vol. 13, no. 2, pp. 22-30, 2011.
- [4] J. M. Kizza, "Python for scientific computing," in *Guide to Computer Network Security*, Springer, 2017.
- [5] P. Virtanen et al., "SciPy 1.0: fundamental algorithms for scientific computing in Python," *Nature Methods*, vol. 17, no. 3, 2020.
- [6] E. Jones, T. Oliphant, and P. Peterson, "SciPy: Open source scientific tools for Python," 2001.
- [7] A. Savitzky and M. J. E. Golay, "Smoothing and differentiation of data," *Analytical Chemistry*, vol. 36, no. 8, 1964.
- [8] R. W. Schafer, "What is a Savitzky-Golay filter?," *IEEE Signal Processing Magazine*, vol. 28, no. 4, 2011.
- [9] W. H. Press and S. A. Teukolsky, "Savitzky-Golay smoothing filters," *Computers in Physics*, vol. 4, no. 6, 1990.
- [10] M. Schmid et al., "Why and how Savitzky-Golay filters should be replaced," *ACS Measurement Science Au*, vol. 2, no. 2, 2022.
- [11] H. H. Madden, "Comments on the Savitzky-Golay convolution method," *Analytical Chemistry*, vol. 50, no. 9, 1978.
- [12] J. O. Smith, "Spectral audio signal processing," W3K Publishing, 2011.
- [13] L. R. Rabiner and B. Gold, "Theory and application of digital signal processing," Prentice-Hall, 1975.
- [14] J. B. Allen and L. R. Rabiner, "A unified approach to short-time Fourier analysis," *Proc. IEEE*, vol. 65, 1977.
- [15] M. R. Portnoff, "Time-frequency representation of digital signals," *IEEE Trans. Acoust., Speech, Signal Process.*, vol. 28, 1980.
- [16] M. Dolson, "The phase vocoder: A tutorial," *Computer Music Journal*, vol. 10, no. 4, 1986.
- [17] D. Griffin and J. Lim, "Signal estimation from modified short-time Fourier transform," *IEEE Trans. ASSP*, vol. 32, 1984.
- [18] B. Sharpe, "Invertibility of overlap-add processing," accessed July 2019.
- [19] L. R. Rabiner and R. W. Schafer, "Digital processing of speech signals," Prentice Hall, 1978.
- [20] Y. Ephraim and D. Malah, "Speech enhancement using a minimum-mean square error STSA estimator," *IEEE Trans. ASSP*, vol. 32, 1984.
- [21] N. Wiener, "Extrapolation, interpolation, and smoothing of stationary time series," MIT Press, 1949.
- [22] J. Chen et al., "New insights into the noise reduction Wiener filter," *IEEE Trans. Audio, Speech, Lang. Process.*, vol. 14, 2006.
- [23] P. C. Loizou, "Speech enhancement: theory and practice," CRC Press, 2013.
- [24] S. F. Boll, "Suppression of acoustic noise in speech using spectral subtraction," *IEEE Trans. ASSP*, vol. 27, 1979.
- [25] J. Sohn et al., "A statistical model-based voice activity detection," *IEEE Signal Process. Lett.*, vol. 6, 1999.
- [26] A. J. M. Houtsma, "Pitch and timbre," *Journal of New Music Research*, vol. 26, 1997.
- [27] H. M. Teager and S. M. Teager, "Evidence for nonlinear sound production mechanisms," in *Speech Production*, Springer, 1990.
- [28] P. Ladefoged, "Vowels and consonants," Blackwell Publishers, 2001.
- [29] G. Fant, "Acoustic theory of speech production," Mouton, 1960.
- [30] G. E. Peterson and H. L. Barney, "Control methods used in a study of the vowels," *J. Acoust. Soc. Am.*, vol. 24, 1952.
- [31] J. Hillenbrand et al., "Acoustic characteristics of American English vowels," *J. Acoust. Soc. Am.*, vol. 97, 1995.
- [32] K. N. Stevens, "Acoustic phonetics," MIT Press, 1998.
- [33] D. H. Whalen and A. G. Levitt, "The universality of intrinsic F0 of vowels," *Journal of Phonetics*, vol. 23, 1995.
- [34] I. R. Titze, "Principles of voice production," National Center for Voice and Speech, 2000.
- [35] M. Hirano, "Clinical examination of voice," Springer, 2013.
- [36] C. E. Silver et al., "Current trends in initial management of laryngeal cancer," *Eur. Arch. Otorhinolaryngol.*, vol. 266, 2009.
- [37] M. Remacle et al., "Endoscopic cordectomy. A proposal for a classification," *Eur. Arch. Otorhinolaryngol.*, vol. 257, 2000.
- [38] E. V. Sjögren et al., "Voice outcome in T1a midcord glottic carcinoma," *Arch. Otolaryngol.-Head Neck Surg.*, vol. 134, 2008.
- [39] T. Yilmaz et al., "Voice after cordectomy type I or type II," *Otolaryngol.-Head Neck Surg.*, vol. 168, 2023.
- [40] L. M. Aaltonen et al., "Voice quality after treatment of early vocal cord cancer," *Int. J. Radiat. Oncol. Biol. Phys.*, vol. 90, 2014.

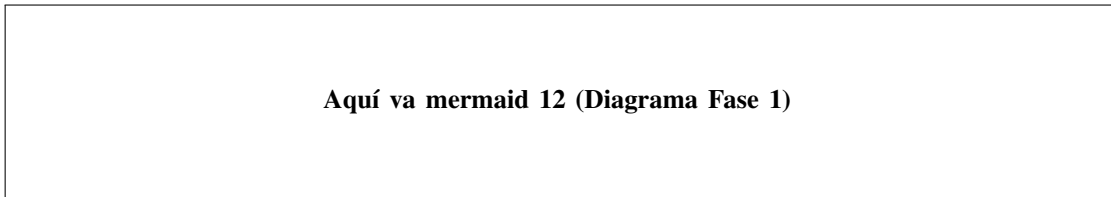


Figura 12. Diagrama de flujo de la Fase 1: Reconstrucción Offline

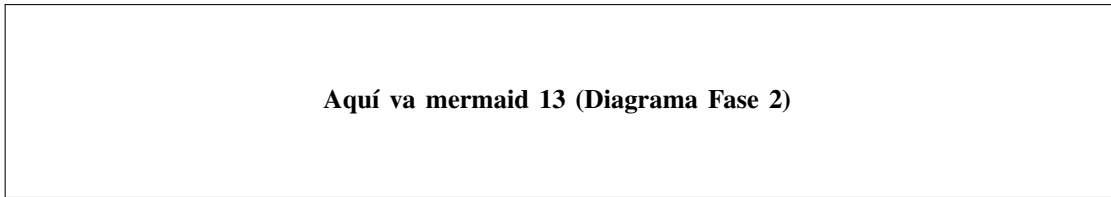


Figura 13. Diagrama de flujo de la Fase 2: Optimización de Preferencias

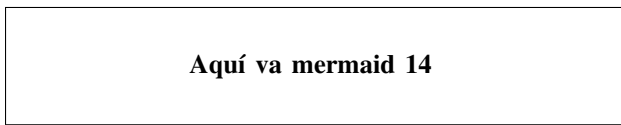


Figura 14. Diagrama de flujo: Fase 3

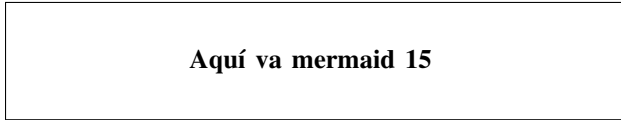


Figura 15. Diagrama de flujo: Fase 4

- [41] H. S. Lee et al., "Voice outcome according to surgical extent," *The Laryngoscope*, vol. 126, 2016.
- [42] A. K. Fouad et al., "Laryngeal compensation for voice production," *Clin. Exp. Otorhinolaryngol.*, vol. 8, 2015.
- [43] G. Fant, <sup>A</sup>coustic theory of speech production: with calculations, Mouton, 1960.
- [44] T. Chiba and M. Kajiyama, "The vowel: Its nature and structure," Tokyo-Kaiseikan, 1941.
- [45] K. N. Stevens, <sup>A</sup>coustic phonetics, MIT Press, 1999.
- [46] J. L. Flanagan, "Speech analysis synthesis and perception," Springer, 1972.